



Budapesti Műszaki és Gazdaságtudományi Egyetem
Gépészmérnöki Kar

Műszaki Mechanikai Tanszék

TDK dolgozat címe
ALULAKTUÁLT ŰRBÉLI ROBOT
SZABÁLYOZÁSI MÓDSZEREI

Készítette: GÁNGÓ DÁNIEL

Témavezető:

Dr. Zelei Ambrus

tudományos munkatárs

Budapest, 2017

Szerzői jog © Gángó Dániel, 2017

Tartalomjegyzék

| | |
|---|-----------|
| 1. Bevezetés | 1 |
| 2. A szabályozási módszerek bemutatása | 2 |
| 2.1. Analitikus megoldás Laplace transzformációval | 2 |
| 2.2. Wen-Bayard szabályozó | 3 |
| 3. Az űrbéli robot mozgásegyenletének felírása | 5 |
| 4. A rendszer relatív fokai | 9 |
| 4.1. Definíció | 9 |
| 4.2. Az űrbéli robot relatív fokai | 10 |
| 4.2.1. Az u_1 bemenet relatív fokai | 11 |
| 4.2.1.1. A robotkar végpontjának x koordinátájára nézve | 11 |
| 4.2.1.2. A robotkar végpontjának y koordinátájára nézve | 13 |
| 4.2.2. Az u_2 bemenet relatív fokai | 15 |
| 4.2.2.1. A robotkar végpontjának x koordinátájára nézve | 16 |
| 4.2.2.2. A robotkar végpontjának y koordinátájára nézve | 18 |
| 5. Összefoglalás | 20 |
| Irodalomjegyzék | 21 |
| Függelék | 22 |
| F.1. A robot mozgásegyenletének mátrixai | 22 |

1. fejezet

Bevezetés

Az ipari robotok szabályozástechnikájának uralkodó irányzata a rendszer dinamikáját kompenzáló, lineáris szabályozási módszerek használata. Ennek nagy hátránya, hogy ezek a szabályozási stratégiák nem használják ki a rendszer természetes dinamikája adta lehetőségeket, így veszítenek hatékonyságukból. Az alulaktuált rendszerek vizsgálatakor olyan szabályozók tervezésére törekszünk, amik a rendszer dinamikáját felhasználva gyorsabb, energia-hatékonyabb és robusztusabb szabályozást tesznek lehetővé.

Dolgozatom témája egy űrbéli robot szabályozási módszereinek vizsgálata. A robot egy robottestből és a hozzá kapcsolódó robotkarból épül fel. A robot 3 szabadságfokú, de csak két aktuátorral rendelkezik, ezért alulaktuáltnak tekinthető.

Dolgozatomban két szabályozási módszert alkalmaztam a robot irányításához. Az egyik módszer az általam már korábban vizsgált, Laplace transzformáción alapuló szabályozó. A szabályozó implementálása során vizsgáltam a rendszer ún. relative degree-it, melynek segítségével leírható a szabályozó jel kimeneten való megjelenése.

A második szabályozási módszer a Wen-Bayard szabályozó algoritmuson alapszik. Ez a szabályozó azonban önmagában nem alkalmazható alulaktuált rendszerek irányítására. A perdületmegmaradást felírva kiegészítettem a szabályozót oly módon, hogy így már alkalmazható legyen az űrbéli robot szabályozására.

2. fejezet

A szabályozási módszerek bemutatása

2.1. Analitikus megoldás Laplace transzformációval

A szabályozó bemutatása néhány módosítással [2] forrásból került átvételre.

Tegyük fel, hogy egy n szabadságfokú rendszer mozgásegyenlete lineáris az általános koordináták $\mathbf{q}(t)$ vektorára, és annak első és második idő szerinti deriváltjaira, $\dot{\mathbf{q}}(t)$ -re és $\ddot{\mathbf{q}}(t)$ -re nézve. Ekkor a mozgásegyenlet felírható

$$\mathbf{M}\ddot{\mathbf{q}} + \mathbf{B}\dot{\mathbf{q}} + \mathbf{K}\mathbf{q} + \mathbf{G} = \mathbf{H}\mathbf{u} \quad (2.1)$$

alakban, ahol $\mathbf{M} \in \mathbb{R}^{n \times n}$ a rendszer tömegmátrixa, $\mathbf{B} \in \mathbb{R}^{n \times n}$ a rendszer csillapításait tartalmazó mátrix, $\mathbf{K} \in \mathbb{R}^{n \times n}$ a rendszer merevségi mátrixa, $\mathbf{G} \in \mathbb{R}^n$ a rendszerre ható gravitációs erők vektora, $\mathbf{H} \in \mathbb{R}^{n \times m}$ a rendszer bemeneti mátrixa, $\mathbf{u} \in \mathbb{R}^m$ a rendszerre ható bemenetek vektora. Írjuk elő, hogy a rendszer aktuátorainak száma legyen kevesebb a szabadságfokok számánál ($m < n$), ezáltal a rendszer alulaktuálttá válik.

A rendszer mozgásának előírásához vezessünk be egy ún. szervo-kényszert:

$$\boldsymbol{\sigma}(\mathbf{q}, t) = \mathbf{f}(\mathbf{q}, t) - \mathbf{y}_d(t) = 0, \quad (2.2)$$

ahol $\mathbf{f}(\mathbf{q}, t) \in \mathbb{R}^m$ egy tetszőleges függvény, $\mathbf{y}_d(\mathbf{q}, t) \in \mathbb{R}^m$ pedig \mathbf{f} előírt értéke. Ahhoz, hogy a Laplace transzformációt alkalmazhassuk, írjuk fel (2.2) szervo-kényszert egy köttebb, lineáris alakban:

$$\boldsymbol{\sigma}(\mathbf{q}, t) = \mathbf{A}\mathbf{q}(t) - \mathbf{y}_d(t) = \mathbf{0} \quad (2.3)$$

alakban.

Ezek után állítsuk elő (2.1) és (2.3) egyenletek Laplace-transzformáltját :

$$\begin{aligned} (\mathbf{M}s^2 + \mathbf{B}s + \mathbf{K})\mathbf{Q}(s) - \dot{\mathbf{q}}_0 - s\mathbf{q}_0 - \mathbf{q}_0 + \mathbf{G} &= \mathbf{H}\mathbf{U}(s), \\ \mathbf{A}\mathbf{Q}(s) + \mathbf{Y}_d(s) &= \mathbf{0}, \end{aligned} \quad (2.4)$$

ahol $\mathbf{Q}(s)$ az általános koordináták, $\mathbf{U}(s)$ a beavatkozó erők, $\mathbf{Y}_d(s)$ az előírt pálya Laplace-transzformáltja, \mathbf{q} és $\dot{\mathbf{q}}_0$ a rendszer általános koordinátáinak és azok deriváltjának a $t = 0$

időpillanatban vett kezdeti értékei. Az így kapott lineáris egyenletrendszert

$$\begin{bmatrix} (Ms^2 + Bs + K) & -H \\ A & 0 \end{bmatrix} \begin{bmatrix} Q(s) \\ U(s) \end{bmatrix} = \begin{bmatrix} \dot{q}_0 + sq_0 + q_0 - G \\ -Y_d(s) \end{bmatrix} \quad (2.5)$$

hipermátrixos alakba rendezve, amennyiben a hipermátrix invertálható, megoldást kapunk $Q(s)$ -ra és $U(s)$ -ra. A megoldások inverz Laplace transzformációját elvégezve megkapjuk a rendszer által leírt $q(t) = y_d(t)$ pályát, és a pálya kövezéséhez szükséges $u(t)$ beavatkozó erőt. A kapott u beavatkozó erő azonban csak akkor tartja az előírt y_d pályán a rendszert, ha a rendszer kezdeti q_0 állapota és annak \dot{q}_0 deriváltja rendre megegyezik y_d és \dot{y}_d $t = 0$ időpontban vett értékével.

Ahhoz, hogy a rendszer tetszőleges kezdeti értékekkel is az előírt pályát kövesse, ki kell egészítenünk egy PD szabályozóval. Ehhez elő kell állítanunk a rendszer pályakövetési hibáját:

$$e = y_d - q, \quad (2.6)$$

és annak idő szerinti deriváltját:

$$\dot{e} = \dot{y}_d - \dot{q}, \quad (2.7)$$

melyekből kiszámíthatjuk a rendszerre beavatkozó erőinek új vektorát az alábbi módon:

$$\hat{u}(t) = u(t) + Pe(t) + D\dot{e}(t). \quad (2.8)$$

Megfelelően megválasztott

$$P = \text{diag} \{ (p_i) \}, p_i > 0, i = 1, \dots, m, \quad (2.9)$$

$$D = \text{diag} \{ (d_i) \}, d_i > 0, i = 1, \dots, m \quad (2.10)$$

mátrixokkal a rendszer véges időn belül beáll az előírt y_d pályára.

Könnyen látható, hogy (2.8) egyenlet két részből épül fel. Az $u(t)$ tag, ami a pályán való haladást biztosítja, valójában egy referenciajel, a $Pe(t) + D\dot{e}(t)$ tagok pedig a hibák korrigálásáért felelnek.

2.2. Wen-Bayard szabályozó

Az itt bemutatott szabályozó [5, 2] eredetileg nem alulaktuált rendszerek irányítására lett kifejlesztve, de ahogy később REF-ben láthatjuk, kiegészíthető úgy, hogy bizonyos alulaktuált rendszerekhez is alkalmazható legyen.

A szabályozó alapgondolata, hogy az előírt $y_d = q_d$ pályát a mozgásegyenletbe behelyettesítve állítjuk elő a beavatkozó erők alapjelét,

$$u = M(q_d)\ddot{q}_d + C(\dot{q}_d, q_d)\dot{q}_d + G(q). \quad (2.11)$$

(2.8) egyenlethez hasonlóan,

$$\mathbf{e} = \mathbf{q}_d - \mathbf{q}, \quad (2.12)$$

$$\dot{\mathbf{e}} = \dot{\mathbf{q}}_d - \dot{\mathbf{q}} \quad (2.13)$$

hibavektorokat bevezetve (2.11) is kiegészíthető egy korrigáló PD szabályozóval,

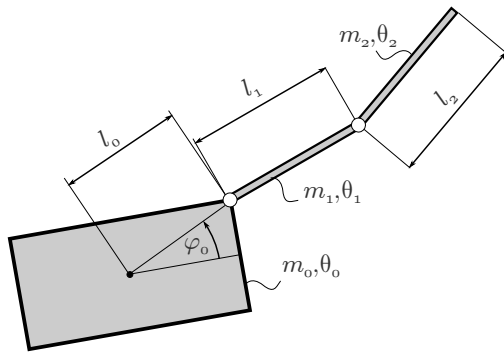
$$\hat{\mathbf{u}} = \mathbf{M}(\mathbf{q}_d)\ddot{\mathbf{q}}_d + \mathbf{C}(\dot{\mathbf{q}}_d, \mathbf{q}_d)\dot{\mathbf{q}}_d + \mathbf{G}(\mathbf{q}) + \mathbf{P}\mathbf{e}(t) + \mathbf{D}\dot{\mathbf{e}}(t). \quad (2.14)$$

Fontos megjegyezni, hogy alulaktuált rendszereknél m beavatkozó esetén m kényszer írható elő, ami kevesebb, mint a \mathbf{q} vektor n dimenziója. Következésképp alulaktuált rendszerek szabályozására (2.14) önmagában nem alkalmazható.

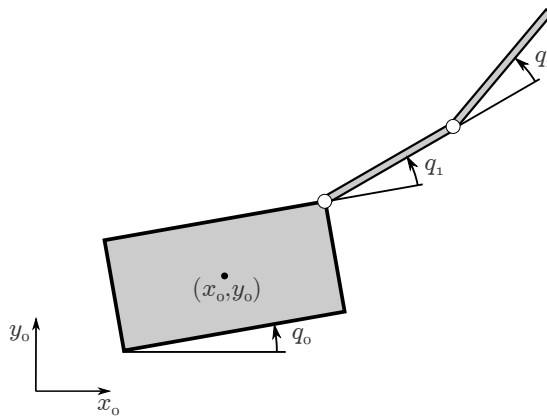
3. fejezet

Az űrbéli robot mozgásegyenletének felírása

Az űrbéli robot 2 dimenziós modellje egy robottestből és a hozzá kapcsolódó robotkarból épül fel (3.1 ábra). A robot két aktuátorral rendelkezik, melyek a robotkaron találhatók. A robot 3 rotációs szabadsági fokkal (mindhárom rész elfordulása), és 2 transzlációs szabadsági fokkal (a robot $x - y$ síkbeli pozíciója) rendelkezik (3.2 ábra). A 3.1 ábrán jelölt fizikai mennyiségek numerikus értékeit a 3.1 táblázat tartalmazza.



3.1. ábra. Az űrbéli robot felépítése



3.2. ábra. A robot mozgását leíró általános koordináták

| jelölés | érték |
|-------------|-----------------------|
| φ_0 | 30° |
| m_0 | 40 kg |
| m_1 | 4 kg |
| m_2 | 3 kg |
| θ_0 | $6,667 \text{ kgm}^2$ |
| θ_1 | $0,333 \text{ kgm}^2$ |
| θ_2 | $0,25 \text{ kgm}^2$ |
| l_0 | 1 m |
| l_1 | 1 m |
| l_2 | 1 m |

3.1. táblázat. A robotra jellemző fizikai mennyiségek

Mivel a rendszer nem tartalmaz disszipatív elemeket, illetve nem hatnak rá külső erők, felírható rá a lendületmegmaradás tétele. Ennek következtében a két transzlációs szabadsági fok elhanyagolható, hiszen lendületmegmaradás értelmében a rendszer közös súlypontja nyugalomban van, vagy egyenes vonalú egyenletes mozgást végez. Tehát ha a közös súlyponthoz rögzített koordináta-rendszerből vizsgáljuk a rendszert, a szabadsági fokok száma 3-ra redukálódik. Így a robot mozgása leírható a három rész elfordulását jellemző szögkoordinátával (3.2 ábra),

$$\mathbf{q}(t) = \begin{bmatrix} q_0(t) \\ q_1(t) \\ q_2(t) \end{bmatrix}.$$

A mozgási egyenlet felírásához a másodfajú Lagrange egyenletet használjuk,

$$\frac{d}{dt} \frac{\partial \mathcal{T}}{\partial \dot{q}_j} - \frac{\partial \mathcal{T}}{\partial q_j} + \frac{\partial \mathcal{D}}{\partial \dot{q}_j} + \frac{\partial \mathcal{U}}{\partial q_j} = Q_j, \quad j = 1 \dots n, \quad (3.1)$$

ahol \mathcal{T} a rendszer összes mozgási energiája, \mathcal{D} a disszipatív potenciál, \mathcal{U} a rendszer potenciális energiája. Q_j jelöli a rendszerre ható általános erőket, q_j pedig az n szabadságfokú rendszer j . általános koordinátáját. Az űrbéli robot esetében a disszipatív potenciál és a potenciális energia is azonosan nulla.

A rendszer összes mozgási energiája

$$T = \sum_{i=0}^2 \frac{1}{2} m_i \mathbf{v}_i^2 + \frac{1}{2} \theta_i \omega_i^2, \quad (3.2)$$

ahol m_i a robot egyes részeinek tömege, \mathbf{v}_i a sebességvektora, θ_i a tehetetlenségi nyomatéka és ω_i a szögsebessége.

Az egyes részek szögsebességei a következőképpen írhatók fel:

$$\omega_0 = \dot{q}_0, \quad (3.3)$$

$$\omega_1 = \dot{q}_0 + \dot{q}_1, \quad (3.4)$$

$$\omega_2 = \dot{q}_0 + \dot{q}_1 + \dot{q}_2. \quad (3.5)$$

A sebességvektorok előállításához először fel kell írunk az egyes részek súlypontjába mutató helyvektorokat, melyek a következők:

$$\mathbf{r}_0 = \begin{bmatrix} x_0 \\ y_0 \end{bmatrix}, \quad (3.6)$$

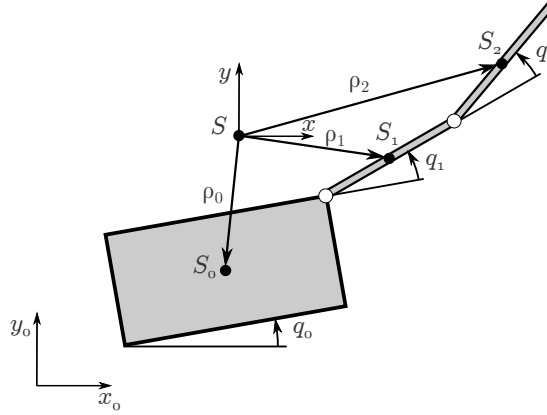
$$\mathbf{r}_1 = \begin{bmatrix} x_0 + l_0 \cos(\varphi_0 + q_0) + \frac{l_1}{2} \cos(q_0 + q_1) \\ y_0 + l_0 \sin(\varphi_0 + q_0) + \frac{l_1}{2} \sin(q_0 + q_1) \end{bmatrix}, \quad (3.7)$$

$$\mathbf{r}_2 = \begin{bmatrix} x_0 + l_0 \cos(\varphi_0 + q_0) + l_1 \cos(q_0 + q_1) + \frac{l_2}{2} \cos(q_0 + q_1 + q_2) \\ y_0 + l_0 \sin(\varphi_0 + q_0) + l_1 \sin(q_0 + q_1) + \frac{l_2}{2} \sin(q_0 + q_1 + q_2) \end{bmatrix}. \quad (3.8)$$

A különálló részek súlypontjába mutató helyvektorokból kiszámítható a rendszer közös súlypontja

$$\mathbf{r}_S = \frac{m_0 \mathbf{r}_0 + m_1 \mathbf{r}_1 + m_2 \mathbf{r}_2}{m_0 + m_1 + m_2}. \quad (3.9)$$

Ahhoz, hogy a közös súlyponthoz rögzített koordináta-rendszerből vizsgáljuk a rendszert, fel kell írunk a közös súlypontból az egyes részek súlypontjaiba mutató helyvektorokat a 3.3 ábrának megfelelően.



3.3. ábra. Az egyes részek súlypontjai és a közös súlypont

$$\begin{aligned} \boldsymbol{\rho}_0 &= \mathbf{r}_0 - \mathbf{r}_S = \\ &= \begin{bmatrix} -\frac{2l_0(m_1+m_2)\cos(\varphi_0+q_0)+l_1(m_1+2m_2)\cos(q_0+q_1)+l_2m_2\cos(q_0+q_1+q_2)}{2(m_0+m_1+m_2)} \\ -\frac{2l_0(m_1+m_2)\sin(\varphi_0+q_0)+l_1(m_1+2m_2)\sin(q_0+q_1)+l_2m_2\sin(q_0+q_1+q_2)}{2(m_0+m_1+m_2)} \end{bmatrix}, \end{aligned} \quad (3.10)$$

$$\begin{aligned} \boldsymbol{\rho}_1 &= \mathbf{r}_1 - \mathbf{r}_S = \\ &= \begin{bmatrix} \frac{2l_0m_0\cos(\varphi_0+q_0)+l_1(m_0-m_2)\cos(q_0+q_1)-l_2m_2\cos(q_0+q_1+q_2)}{2(m_0+m_1+m_2)} \\ \frac{2l_0m_0\sin(\varphi_0+q_0)+l_1(m_0-m_2)\sin(q_0+q_1)-l_2m_2\sin(q_0+q_1+q_2)}{2(m_0+m_1+m_2)} \end{bmatrix}, \end{aligned} \quad (3.11)$$

$$\boldsymbol{\rho}_2 = \mathbf{r}_2 - \mathbf{r}_S = \begin{bmatrix} \frac{2l_0 m_0 \cos(\varphi_0 + q_0) + l_1(2m_0 + m_1) \cos(q_0 + q_1) + l_2(m_0 + m_1) \cos(q_0 + q_1 + q_2)}{2(m_0 + m_1 + m_2)} \\ \frac{2l_0 m_0 \sin(\varphi_0 + q_0) + l_1(2m_0 + m_1) \sin(q_0 + q_1) + l_2(m_0 + m_1) \sin(q_0 + q_1 + q_2)}{2(m_0 + m_1 + m_2)} \end{bmatrix}. \quad (3.12)$$

Látható, hogy ezekben a vektorokban már nem szerepelnek az x_0 és y_0 koordináták, tehát a rendszer valóban 3 szabadságfokúra egyszerűsödött.

A sebességvektorok előállításához vegyük a fent kiszámított helyvektorok idő szerinti deriváltját:

$$\mathbf{v}_0 = \frac{d\boldsymbol{\rho}_0}{dt} = \begin{bmatrix} -\frac{2l_0(m_1 + m_2)\dot{q}_0 \sin(\varphi_0 + q_0) - l_1(m_1 + 2m_2)(\dot{q}_0 + \dot{q}_1) \sin(q_0 + q_1) - l_2 m_2(\dot{q}_0 + \dot{q}_1 + \dot{q}_2) \sin(q_0 + q_1 + q_2)}{2(m_0 + m_1 + m_2)} \\ -\frac{2l_0(m_1 + m_2)\dot{q}_0 \cos(\varphi_0 + q_0) + l_1(m_1 + 2m_2)(\dot{q}_0 + \dot{q}_1) \cos(q_0 + q_1) + l_2 m_2(\dot{q}_0 + \dot{q}_1 + \dot{q}_2) \cos(q_0 + q_1 + q_2)}{2(m_0 + m_1 + m_2)} \end{bmatrix}, \quad (3.13)$$

$$\mathbf{v}_1 = \frac{d\boldsymbol{\rho}_1}{dt} = \begin{bmatrix} \frac{-2l_0 m_0 \dot{q}_0 \sin(\varphi_0 + q_0) - l_1(m_0 - m_2)(\dot{q}_0 + \dot{q}_1) \sin(q_0 + q_1) + l_2 m_2(\dot{q}_0 + \dot{q}_1 + \dot{q}_2) \sin(q_0 + q_1 + q_2)}{2(m_0 + m_1 + m_2)} \\ \frac{2l_0 m_0 \dot{q}_0 \cos(\varphi_0 + q_0) + l_1(m_0 - m_2)(\dot{q}_0 + \dot{q}_1) \cos(q_0 + q_1) - l_2 m_2(\dot{q}_0 + \dot{q}_1 + \dot{q}_2) \cos(q_0 + q_1 + q_2)}{2(m_0 + m_1 + m_2)} \end{bmatrix}, \quad (3.14)$$

$$\mathbf{v}_2 = \frac{d\boldsymbol{\rho}_2}{dt} = \begin{bmatrix} \frac{-2l_0 m_0 \dot{q}_0 \sin(\varphi_0 + q_0) - l_1(2m_0 + m_1)(\dot{q}_0 + \dot{q}_1) \sin(q_0 + q_1) - l_2(m_0 + m_1)(\dot{q}_0 + \dot{q}_1 + \dot{q}_2) \sin(q_0 + q_1 + q_2)}{2(m_0 + m_1 + m_2)} \\ \frac{2l_0 m_0 \dot{q}_0 \cos(\varphi_0 + q_0) + l_1(2m_0 + m_1)(\dot{q}_0 + \dot{q}_1) \cos(q_0 + q_1) + l_2(m_0 + m_1)(\dot{q}_0 + \dot{q}_1 + \dot{q}_2) \cos(q_0 + q_1 + q_2)}{2(m_0 + m_1 + m_2)} \end{bmatrix}. \quad (3.15)$$

Ezek után a másodfajú Lagrange egyenlet (3.1) segítségével felírhatjuk a rendszer mozgásegyenletét, ami a következő alakban írható fel:

$$\mathbf{M}(\mathbf{q})\ddot{\mathbf{q}} + \mathbf{C}(\mathbf{q}, \dot{\mathbf{q}}) = \mathbf{H}\mathbf{u}, \quad (3.16)$$

ahol \mathbf{M} a rendszer tömegmátrixa, \mathbf{C} a centripetális és Coriolis erőket tartalmazó vektor,

$$\mathbf{H} = \begin{bmatrix} 1 & 0 \\ 0 & 1 \end{bmatrix} \quad (3.17)$$

a rendszer bemeneti mátrixa,

$$\mathbf{u} = \begin{bmatrix} u_1 \\ u_2 \end{bmatrix} \quad (3.18)$$

pedig a bemeneti nyomatékok vektora. Terjedelmük miatt az \mathbf{M} és \mathbf{C} mátrixok az F.1 függelékben találhatók.

4. fejezet

A rendszer relatív fokai

4.1. Definíció

Az ún. relatív fok (relative degree) fontos szerepet játszik a nemlineáris rendszerek szabályozásában. Használatával leírhatjuk a bemenetek és kimenetek közt fellépő kapcsolatot. [1, 3]

A relatív fok definiálásához vegyünk egy általános egy bemenetű, egy kimenetű (SISO) rendszert:

$$\dot{\mathbf{x}} = \mathbf{f}(\mathbf{x}) + \mathbf{g}(\mathbf{x})u, \quad (4.1)$$

ahol $\mathbf{x} = [\mathbf{q}, \dot{\mathbf{q}}]^T$, $\mathbf{x} \in \mathbb{R}^{2n}$ a rendszer állapotvektora. A rendszer kimenete pedig legyen

$$y = h(\mathbf{x}). \quad (4.2)$$

Ha a rendszer kimenetét r -szer differenciáljuk az idő szerint addig, amíg az u bemenet explicit módon meg nem jelenik a kifejezésben, akkor r a rendszer bemenete és kimenete közti relatív fok. Behelyettesítve (4.1) egyenletet, (4.2) idő szerinti deriváltja a következő:

$$\frac{dy}{dt} = \frac{\partial h(\mathbf{x})}{\partial \mathbf{x}} \dot{\mathbf{x}} = \frac{\partial h(\mathbf{x})}{\partial \mathbf{x}} \mathbf{f}(\mathbf{x}) + \frac{\partial h(\mathbf{x})}{\partial \mathbf{x}} \mathbf{g}(\mathbf{x})u. \quad (4.3)$$

A jelölések egyszerűsítésének érdekében vezessük be az ún. Lie-derivált fogalmát:

$$\frac{\partial h(\mathbf{x})}{\partial \mathbf{x}} \mathbf{f}(\mathbf{x}) = L_f h. \quad (4.4)$$

A következőkben számítsuk ki a kimenet idő szerinti deriváltjait, és vezessük be a k indexet, melynek szerepét később a definícióban láthatjuk [3]:

- a kimenet (nulladik derivált)

$$y = h(\mathbf{x}) \quad (4.5)$$

- első derivált, $k = 0$

$$\frac{dy}{dt} = \frac{\partial h(\mathbf{x})}{\partial \mathbf{x}} \dot{\mathbf{x}} = \frac{\partial h(\mathbf{x})}{\partial \mathbf{x}} (\mathbf{f}(\mathbf{x}) + \mathbf{g}(\mathbf{x})u) = L_f h + L_g h \cdot u \quad (4.6)$$

Feltételezzük, hogy $L_g h = 0$, így $\dot{y} = L_f h$.

- második derivált, $k = 1$

$$\frac{d^2 y}{dt^2} = \frac{\partial(L_f h)}{\partial \mathbf{x}} (\mathbf{f}(\mathbf{x}) + \mathbf{g}(\mathbf{x})u) = L_f^2 h + L_g L_f h \cdot u \quad (4.7)$$

Feltételezzük, hogy $L_g L_f h = 0$, így $\ddot{y} = L_f^2 h$.

- harmadik derivált, $k = 2$

$$\frac{d^3 y}{dt^3} = \frac{\partial(L_f^2 h)}{\partial \mathbf{x}} (\mathbf{f}(\mathbf{x}) + \mathbf{g}(\mathbf{x})u) = L_f^3 h + L_g L_f^2 h \cdot u \quad (4.8)$$

Ha $L_g L_f^2 h \neq 0$, a rendszer relatív foka $r = 3$. Ellenkező esetben addig folytatjuk a differenciálást, amíg az $L_g L_f^k h \neq 0$ feltétel nem teljesül.

A relatív fok általános definíciója tehát a következő [3]:

Egy nemlineáris, egy bemenetű, egy kimenetű (SISO) rendszer

$$\begin{aligned} \dot{\mathbf{x}} &= \mathbf{f}(\mathbf{x}) + \mathbf{g}(\mathbf{x})u \\ y &= h(\mathbf{x}) \end{aligned}$$

relatív foka r az \mathbf{x}^0 pontban, ha

1. $L_g L_f^k h(\mathbf{x}) = 0$ minden \mathbf{x} -re az \mathbf{x}^0 pont környezetében minden k -ra úgy, hogy $k < r - 1$.
2. $L_g L_f^{r-1} h(\mathbf{x}^0) \neq 0$.

Fontos megjegyezni, hogy a relatív fok értelmezhető több bemenetű, több kimenetű (MIMO) rendszerekre is. Ekkor a relatív fokokat páronként, az összes lehetséges bemenet-kimenet kombinációra számítjuk [3].

4.2. Az űrbéli robot relatív fokai

Az űrbéli robot több bemenetű, több kimenetű (MIMO) rendszer, ezért relatív fokai bemenet-kimenet páronként definiálhatók. A robot két bemenete a karon található két aktuátor, kimenete pedig a robotkar végpontjának pozíciója, mely szintén két kimenetet (a végpont x és y koordinátája) jelent. Így tehát összesen 4 különböző, $r_{u_1, x}$, $r_{u_1, y}$, $r_{u_2, x}$, $r_{u_2, y}$ relatív fokokat definiálhatunk az űrbéli robot esetén.

Az űrbéli robot esetében a állapotváltozók vektora $\mathbf{x} = [q_0, q_1, q_2, \dot{q}_0, \dot{q}_1, \dot{q}_2]^T$, melynek deriváltja $\dot{\mathbf{x}} = [\dot{q}_0, \dot{q}_1, \dot{q}_2, \ddot{q}_0, \ddot{q}_1, \ddot{q}_2]^T$. Mivel a szögsebesség értékek állapotváltozók is egyben, a 4.1 alakú felíráshoz a szöggyorsulásokat kell kifejeznünk a szögekkel és szögsebességekkel. Ezt a (3.16) mozgásegyenlet segítségével tehetjük meg az alábbi módon:

$$\ddot{\mathbf{q}} = \mathbf{M}^{-1}(\mathbf{H}\mathbf{u} - \mathbf{C}). \quad (4.9)$$

4.2.1. Az u_1 bemenet relatív fokai

A (4.1) egyenlet ez esetben

$$\dot{\mathbf{x}} = \mathbf{f}(\mathbf{x}) + \mathbf{g}(\mathbf{x})u_1. \quad (4.10)$$

Az $\dot{\mathbf{x}}$ vektor kifejezéséből u_1 együtthatóinak kigyűjtése után az $\mathbf{f}(\mathbf{x})$ és $\mathbf{g}(\mathbf{x})$ vektorok könnyedén meghatározóak, azonban terjedelmi okok miatt itt nem közöljük őket.

4.2.1.1. A robotkar végpontjának x koordinátájára nézve

Legyen a rendszer kimenete a robotkar végpontjának x koordinátája a robot súlypontjához rögzített koordináta-rendszerben:

$$\begin{aligned} h(\mathbf{x}) = & \frac{2l_0m_0 \cos(\varphi_0 + q_0) + l_1(2m_0 + m_1) \cos(q_0 + q_1)}{2(m_0 + m_1 + m_2)} \\ & + \frac{l_2(2m_0 + 2m_1 + m_2) \cos(q_0 + q_1 + q_2)}{2(m_0 + m_1 + m_2)}. \end{aligned} \quad (4.11)$$

Most számítsuk ki a relatív fok meghatározásához szükséges Lie-deriváltakat.

- $k = 0$

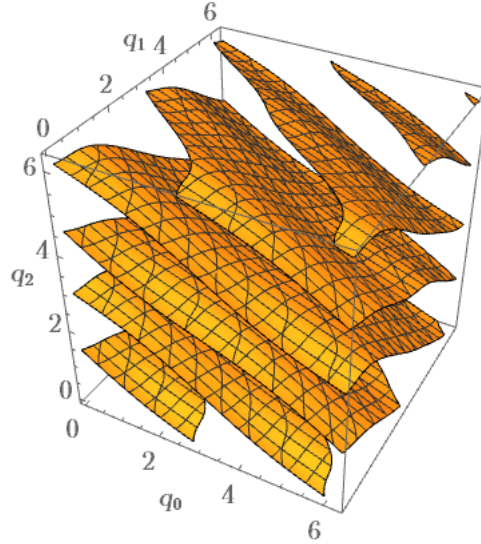
$$L_g h = 0 \quad (4.12)$$

- $k = 1$

$$L_g L_f h = \phi_{u_1, x}(q_0, q_1, q_2) \quad (4.13)$$

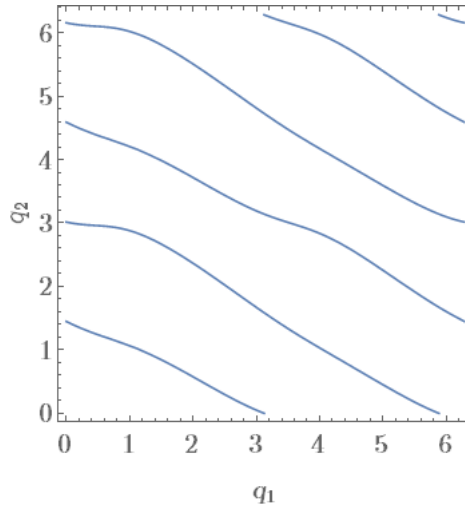
A kapott $\phi_{u_1, x}$ összefüggés a robot szögkoordinátáitól függ (terjedelmi okok miatt a kifejtett összefüggést nem közöljük), ami a legtöbb esetben nem nulla. Ilyenkor a relatív fok $r_{u_1, x} = 2$. Előállhat azonban a szögkoordinátáknak olyan kombinációja, melyekre $\phi_{u_1, x}(q_0, q_1, q_2) = 0$. E kombinációk előfordulása a 4.1 ábrán látható.

A q_0 változót kiküszöbölhetjük a $\phi_{u_1, x}$ összefüggésből úgy, hogy a koordináta-rendszert úgy rögzítjük a robot súlypontjához, hogy ne csak eltolva kerüljön a súlypontba, hanem forogjon is együtt a robot alapjával (q_0 szöggel). Ez a megfontolás nem változtat a relatív fokokon, viszont az így kapott $\hat{\phi}_{u_1, x}(q_1, q_2)$ összefüggés így már csak két változótól függ, mivel így az új koordináta-rendszerben $q_0 \equiv 0$. A $\hat{\phi}_{u_1, x}(q_1, q_2) = 0$ -t eredményező szögértékek a 4.2 ábrán láthatóak. Ezen szögértékek esetén a relatív fok $r_{u_1, x} > 2$. A 4.2 ábrán látható, hogy egy fix q_1 értékhez 4 különböző q_2 érték



4.1. ábra. A $\phi_{u_1,x}(q_0, q_1, q_2) = 0$ esetek előfordulása

tartozik, melyek 2π periódusonként ismétlődnek, de a 4 q_2 érték között is felfedezhető π eltolás páronként 2-2 érték között.



4.2. ábra. A $\hat{\phi}_{u_1,x}(q_1, q_2) = 0$ esetek előfordulása

Ha a $\hat{\phi}_{u_1,x}(q_1, q_2) = 0$ összefüggésbe például $q_1 = 0$ -t helyettesítünk, a kapott 4 konfiguráció, melyekre $r_{u_1,x} > 2$, a 4.3 ábrán látható.

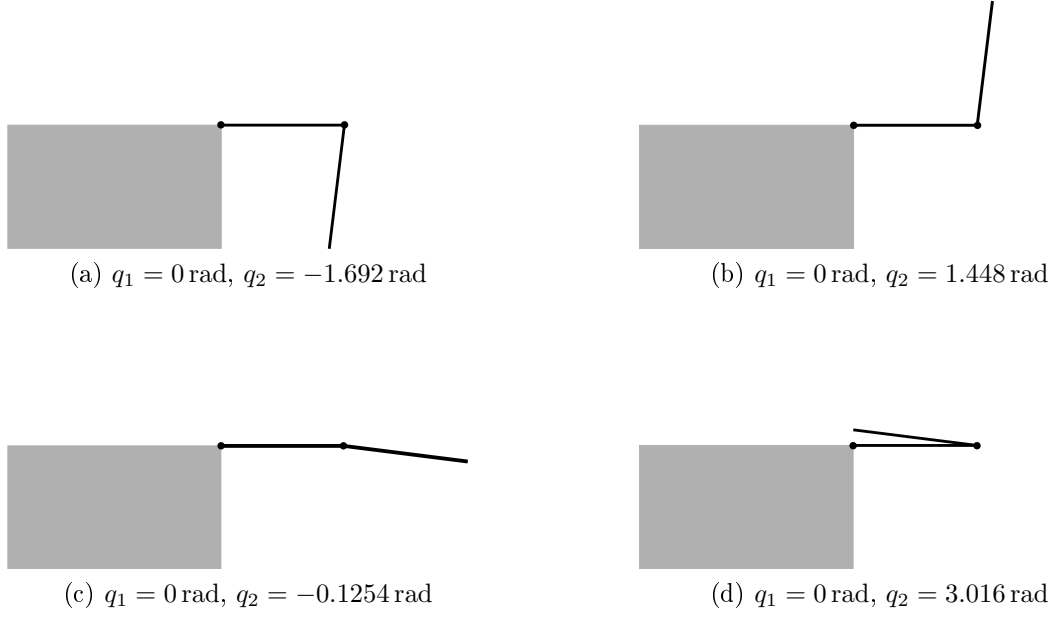
- $k = 2$

$$L_g L_f^2 h = \tilde{\phi}_{u_1,x}(\dot{q}_1, \dot{q}_2) \quad (4.14)$$

A most kapott összefüggés a \dot{q}_1 és \dot{q}_2 szögsebességektől függ. Azokban az esetekben, amikor $\tilde{\phi}_{u_1,x}(\dot{q}_1, \dot{q}_2) \neq 0$, a relatív fok $r_{u_1,x} = 3$.

Amikor $\tilde{\phi}_{u_1,x}(\dot{q}_1, \dot{q}_2) = 0$, a relatív fok $r_{u_1,x} > 3$. Ilyenkor $\tilde{\phi}_{u_1,x}$ -ből egy lineáris összefüggést kapunk \dot{q}_1 és \dot{q}_2 között

$$\dot{q}_1 = a + b\dot{q}_2 \quad (4.15)$$


 4.3. ábra. 4 konfiguráció, melyekre $r_{u_1,x} > 2$

alakban. Ha ez a feltétel teljesül, tovább kell folytatnunk a számolást.

- $k = 3$

$$L_g L_f^3 h = \check{\phi}_{u_1,x}(u_2) = \alpha + \beta u_2 \quad (4.16)$$

Ez az összefüggés már csak az u_2 bemenettől függ, még hozzá lineárisan. Abban az esetben, ha $\check{\phi}_{u_1,x}(u_2) \neq 0$, a relatív fok $r_{u_1,x} = 4$. Egy u_2 érték létezik, melyre $\check{\phi}_{u_1,x}(u_2) = 0$, ilyenkor a relatív fok $r_{u_1,x} > 4$, és folytatnunk kell a számolást.

- $k = 4$

$$L_g L_f^4 h = C \neq 0 \quad (4.17)$$

Mivel nem maradt már több változónk, aminek nincs előírt értéke, a fenti összefüggés minden esetben egy nem zérus konstans. Az előfordulható legmagasabb relatív fok az u_1 bemenet és a robotkar végpontjának x koordinátája között tehát $r_{u_1,x} = 5$.

4.2.1.2. A robotkar végpontjának y koordinátájára nézve

Hasonlóan számíthatjuk ki a relatív fokot, ha kimenetnek a robotkar végpontjának y koordinátáját választjuk a súlyponthoz rögzített koordináta-rendszerben:

$$\begin{aligned} h(\mathbf{x}) = & \frac{2l_0 m_0 \sin(\varphi_0 + q_0) + l_1(2m_0 + m_1) \sin(q_0 + q_1)}{2(m_0 + m_1 + m_2)} \\ & + \frac{l_2(2m_0 + 2m_1 + m_2) \sin(q_0 + q_1 + q_2)}{2(m_0 + m_1 + m_2)}. \end{aligned} \quad (4.18)$$

A számolás menete megegyezik az előző számítással, csak az eredményekben tér el attól.

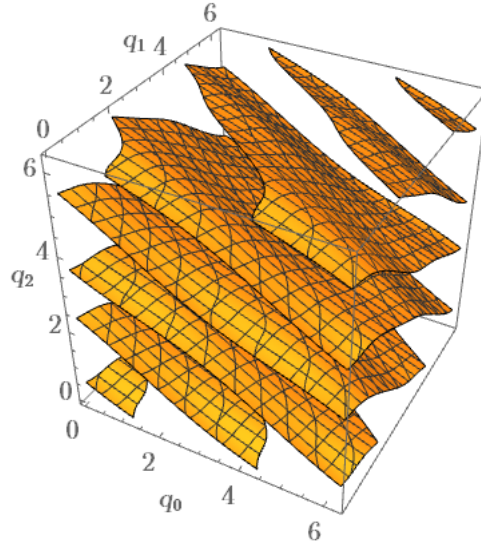
- $k = 0$

$$L_g h = 0 \quad (4.19)$$

- $k = 1$

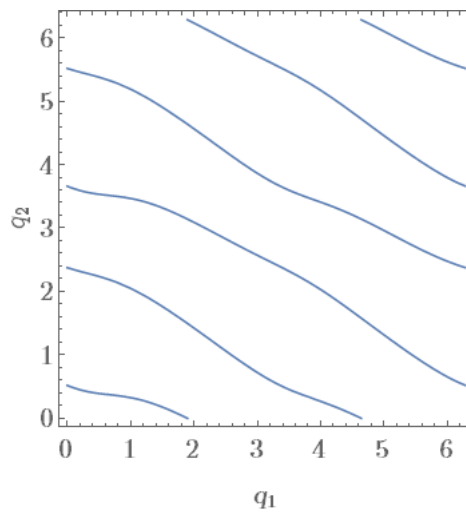
$$L_g L_f h = \phi_{u,y}(q_0, q_1, q_2) \quad (4.20)$$

A kapott ϕ összefüggés itt is a szögkoordinátáktól függ, ami a legtöbb esetben nem nulla. Ilyenkor a relatív fok $r_{u,y} = 2$. Az $r_{u,y} > 2$ relatív fokot eredményező szögkoordináta kombinációk a 4.4 ábrán láthatóak.



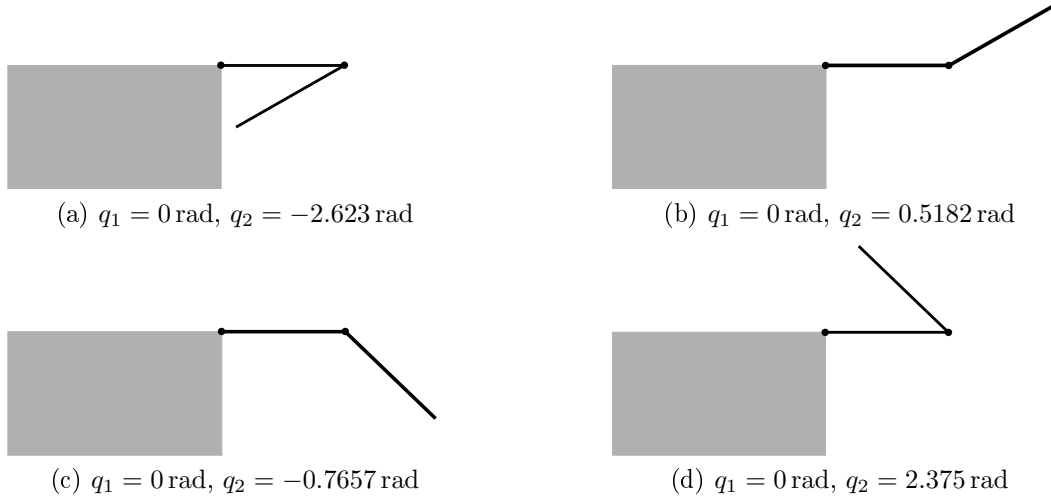
4.4. ábra. A $\phi_{u,y}(q_0, q_1, q_2) = 0$ esetek előfordulása

A q_0 változó kiküszöbölése után a kapott összefüggés $\hat{\phi}_{u,y}(q_1, q_2)$. A $\hat{\phi}_{u,y}(q_1, q_2) = 0$ -t, tehát $r_{u,y} > 2$ relatív fokot eredményező szögértékek a 4.5 ábrán láthatóak. Egy fix q_1 értékhez itt is 4 különböző q_2 érték tartozik, melyek 2π periódusonként ismétlődnek. A 4 q_2 érték között itt is felfedezhető π eltolás páronként 2-2 érték között.



4.5. ábra. A $\hat{\phi}_{u,y}(q_1, q_2) = 0$ esetek előfordulása

Példaképp, ha a $\hat{\phi}_{u,y}(q_1, q_2) = 0$ összefüggésbe $q_1 = 0$ rad-t helyettesítünk, a kapott 4 konfiguráció, melyekre $r_{u,y} > 2$, a 4.6 ábrán látható.


 4.6. ábra. 4 konfiguráció, melyekre $r_{u_1,y} > 2$

- $k = 2$

$$L_g L_f^2 h = \tilde{\phi}_{u_1,y}(\dot{q}_1, \dot{q}_2) \quad (4.21)$$

Ez az összefüggés a \dot{q}_1 és \dot{q}_2 szögsebességektől függ. Azokban az esetekben, amikor $\tilde{\phi}_{u_1,y}(\dot{q}_1, \dot{q}_2) \neq 0$, a relatív fok $r_{u_1,y} = 3$.

Amikor $\tilde{\phi}_{u_1,y}(\dot{q}_1, \dot{q}_2) = 0$, a relatív fok $r_{u_1,y} > 3$. Ilyenkor \dot{q}_1 és \dot{q}_2 között

$$\dot{q}_1 = a + b\dot{q}_2 \quad (4.22)$$

lineáris összefüggés figyelhető meg.

- $k = 3$

$$L_g L_f^3 h = \check{\phi}_{u_1,y}(u_2) = \alpha + \beta u_2 \quad (4.23)$$

Ez az összefüggés csak az u_2 bemenettől függ, még hozzá lineárisan. Amikor $\check{\phi}_{u_1,y}(u_2) \neq 0$, a relatív fok $r_{u_1,y} = 4$. Az egy u_2 értékre, melyre $\check{\phi}_{u_1,y}(u_2) = 0$, a relatív fok $r_{u_1,y} > 4$.

- $k = 4$

$$L_g L_f^4 h = C \neq 0 \quad (4.24)$$

Mivel már minden változó értékét fixáltuk, ez a kifejezés minden esetben nem nulla. Így az előfordulható legmagasabb relatív fok az u_1 bemenet és a robotkar végpontjának y koordinátája között $r_{u_1,y} = 5$.

4.2.2. Az u_2 bemenet relatív fokai

Vizsgáljuk most az u_2 bemenet hatását a robotkar végpontjának pozíciójára. A (4.1) egyenlet így

$$\dot{\mathbf{x}} = \mathbf{f}(\mathbf{x}) + \mathbf{g}(\mathbf{x})u_2, \quad (4.25)$$

ahol $\mathbf{f}(\mathbf{x})$ és $\mathbf{g}(\mathbf{x})$ vektorok könnyedén meghatározóak, de terjedelmi okokból nem közöljük őket.

4.2.2.1. A robotkar végpontjának x koordinátájára nézve

Válasszuk először kimenetnek a robotkar végpontjának x koordinátáját ((4.11) egyenlet). Az u_1 bemenet relatív fokainak számításával analóg módon most is a különböző Lie-deriváltakat kell vizsgálnunk az $r_{u_2,x}$ relatív fok meghatározásához.

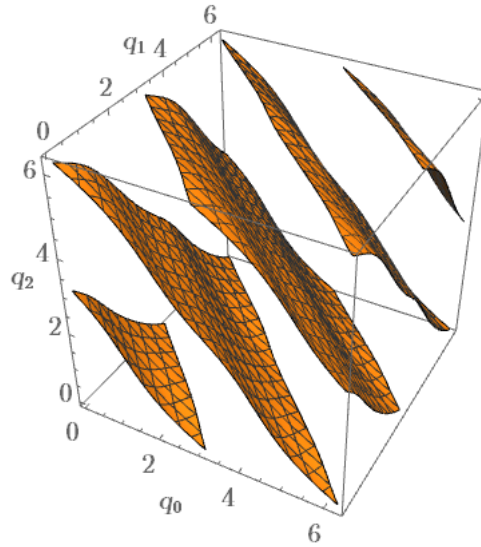
- $k = 0$

$$L_g h = 0 \quad (4.26)$$

- $k = 1$

$$L_g L_f h = \phi_{u_2,x}(q_0, q_1, q_2) \quad (4.27)$$

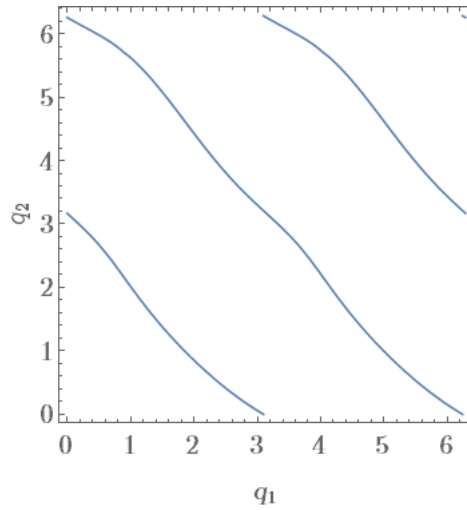
A $\phi_{u_2,x}$ összefüggés a robot 3 szögkoordinátájának függvénye, és a legtöbb esetben nem nulla értéket vesz fel. Ekkor a relatív fok $r_{u_2,x} = 2$. Az $r_{u_2,x} > 2$ relatív fokot eredményező szögkoordináták a 4.7 ábrán láthatóak.

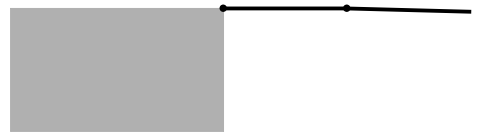


4.7. ábra. A $\phi_{u_2,x}(q_0, q_1, q_2) = 0$ esetek előfordulása

A $\phi_{u_2,x}$ kifejezésből szintén kiejthetjük a q_0 szöget a koordináta-rendszer forgatásával, így a $\hat{\phi}_{u_2,x}(q_1, q_2)$ kifejezéshez jutva. Az $r_{u_2,x} > 2$ relatív fokot eredményező q_1 és q_2 értékek a 4.8 ábrán láthatóak. Az ábráról észrevehetjük, hogy ellentétben az u_1 bemenet relatív fokainál tapasztaltakkal, itt egy rögzített q_1 -hez csak 2 q_2 érték tartozik, melyek 2π periodikusak.

Szemléltetésül a $\hat{\phi}_{u_2,x}(q_1, q_2) = 0$ összefüggésbe $q_1 = 0$ rad-t helyettesítve, a kapott 2 konfiguráció, melyeknél $r_{u_2,x} > 2$, a 4.9 ábrán látható. Észrevehetjük, hogy a kapott q_2 értékek közel állnak a 0 rad és π rad értékekhez, az eltérést csak a numerikus számítások pontatlansága okozza.


 4.8. ábra. A $\hat{\phi}_{u_2,x}(q_1, q_2) = 0$ esetek előfordulása

 (a) $q_1 = 0 \text{ rad}$, $q_2 = 3.114 \text{ rad}$

 (b) $q_1 = 0 \text{ rad}$, $q_2 = 0.02650 \text{ rad}$

 4.9. ábra. 2 konfiguráció, melyekre $r_{u_2,x} > 2$

- $k = 2$

$$L_g L_f^2 h = \tilde{\phi}_{u_2,x}(\dot{q}_1, \dot{q}_2) \quad (4.28)$$

A $\tilde{\phi}_{u_2,x}$ összefüggés a \dot{q}_1 és \dot{q}_2 szögsebességektől függ. Amikor $\tilde{\phi}_{u_2,x}(\dot{q}_1, \dot{q}_2) \neq 0$, a relatív fok $r_{u_2,x} = 3$. Ha $\tilde{\phi}_{u_2,x}(\dot{q}_1, \dot{q}_2) = 0$, a relatív fok $r_{u_2,x} > 3$. Ilyenkor \dot{q}_1 és \dot{q}_2 között

$$\dot{q}_1 = a + b\dot{q}_2 \quad (4.29)$$

lineáris kapcsolat áll fent.

- $k = 3$

$$L_g L_f^3 h = \check{\phi}_{u_2,x}(u_1) = \alpha + \beta u_1 \quad (4.30)$$

A $\check{\phi}_{u_2,x}$ kifejezés az u_1 bemenet lineáris függvénye. Amikor $\check{\phi}_{u_2,x}(u_1) \neq 0$, a relatív fok $r_{u_2,x} = 4$. $\check{\phi}_{u_2,x}(u_1)$ az u_1 bemenet egyetlen értékénél vesz fel 0-t, ilyenkor a relatív fok $r_{u_2,x} > 4$.

- $k = 4$

$$L_g L_f^4 h = C \neq 0 \quad (4.31)$$

A kapott összefüggés nem nulla, így az előfordulható legmagasabb relatív fok az u_2 bemenet és a robotkar végpontjának x koordinátája között is $r_{u_2,x} = 5$.

4.2.2.2. A robotkar végpontjának y koordinátájára nézve

Legyen a kimenet a robotkar végpontjának y koordinátája ((4.18) egyenlet), és ismételjük meg az előző pontban leírt számításokat.

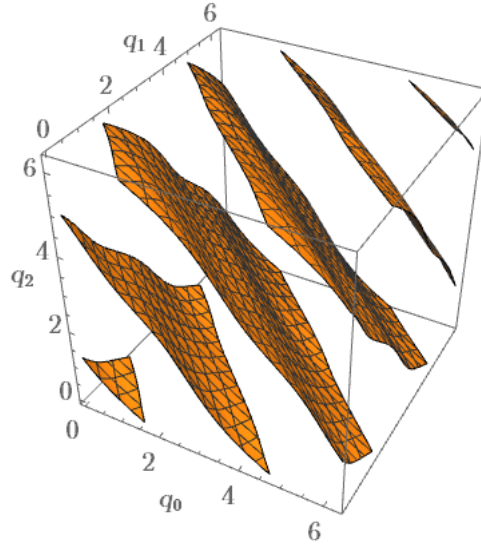
- $k = 0$

$$L_g h = 0 \quad (4.32)$$

- $k = 1$

$$L_g L_f h = \phi_{u_2,y}(q_0, q_1, q_2) \quad (4.33)$$

A $\phi_{u_2,y}$ összefüggés itt is a robot 3 szögkoordinátájának függvénye, ami a legtöbb esetben nem nulla. Ekkor a relatív fok $r_{u_2,y} = 2$. Az $r_{u_2,y} > 2$ relatív fokot eredményező szögkoordináták a 4.10 ábrán láthatók.



4.10. ábra. A $\phi_{u_2,y}(q_0, q_1, q_2) = 0$ esetek előfordulása

A $\phi_{u_2,y}$ kifejezésből q_0 a szög kiejtésével a $\hat{\phi}_{u_2,y}(q_1, q_2)$ kifejezést kapjuk. Az $r_{u_2,y} > 2$ relatív fokot eredményező q_1 és q_2 értékek a 4.11 ábrán láthatók. Az előző számítás-hoz hasonlóan egy rögzített q_1 értékhez 2 q_2 érték tartozik, melyek 2π periodikusak.

Egy példaként $q_1 = 0$ rad-t helyettesítve a $\hat{\phi}_{u_2,y}(q_1, q_2) = 0$ összefüggésbe, a kapott 2 konfiguráció, melyekre $r_{u_2,y} > 2$, a 4.12 ábrán látható.

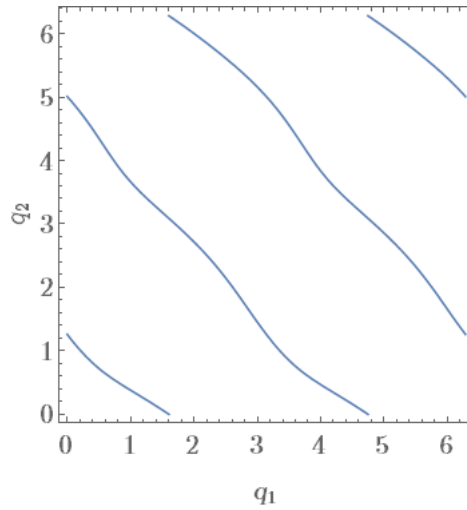
- $k = 2$

$$L_g L_f^2 h = \tilde{\phi}_{u_2,y}(\dot{q}_1, \dot{q}_2) \quad (4.34)$$

A $\tilde{\phi}_{u_2,y}$ összefüggés a \dot{q}_1 és \dot{q}_2 szögsebességek függvénye. $\tilde{\phi}_{u_2,y}(\dot{q}_1, \dot{q}_2) \neq 0$ esetén a relatív fok $r_{u_2,y} = 3$. Akkor, ha $\tilde{\phi}_{u_2,y}(\dot{q}_1, \dot{q}_2) = 0$, a relatív fok $r_{u_2,y} > 3$. Ilyenkor \dot{q}_1 és \dot{q}_2 között

$$\dot{q}_1 = a + b\dot{q}_2 \quad (4.35)$$

lineáris kapcsolat van.


 4.11. ábra. A $\hat{\phi}_{u_2,x}(q_1, q_2) = 0$ esetek előfordulása

 4.12. ábra. 2 konfiguráció, melyekre $r_{u_2,y} > 2$

- $k = 3$

$$L_g L_f^3 h = \check{\phi}_{u_2,y}(u_1) = \alpha + \beta u_1 \quad (4.36)$$

$\check{\phi}_{u_2,y}$ az u_1 bemenet lineáris függvénye. Amikor $\check{\phi}_{u_2,y}(u_1) \neq 0$, a relatív fok $r_{u_2,y} = 4$. $\check{\phi}_{u_2,x}(u_1) = 0$ egyetlen u_1 értéknél valósul meg, ekkor a relatív fok $r_{u_2,y} > 4$.

- $k = 4$

$$L_g L_f^4 h = C \neq 0 \quad (4.37)$$

Az összefüggés nem nulla, tehát az előfordulható legmagasabb relatív fok az u_2 bemenet és a robotkar végpontjának y koordinátája között szintén $r_{u_2,y} = 5$.

5. fejezet

Összefoglalás

Irodalomjegyzék

- [1] László Bencsik. “Dynamic analysis and tracking control of underactuated multibody systems”. PhD thesis. Budapest University of Technology and Economics, 2017.
- [2] Dániel Gángó. “Alulaktuált rendszerek szabályozási módszereinek összehasonlítása”. BSc thesis. Budapest University of Technology and Economics, 2016.
- [3] Katalin M Hangos, József Bokor, and Gábor Szederkényi. *Analysis and control of nonlinear process systems*. Springer Science & Business Media, 2006.
- [4] Elzbieta Jarzebowska and Bartłomiej Pilarczyk. “Design of tracking controller for object interception in space”. Institute of Aeronautics and Applied Mechanics, Warsaw University of Technology, 2016.
- [5] A Mazur. “Universal adaptive tracking controller for rigid manipulators”. In: *APPLIED MATHEMATICS AND COMPUTER SCIENCE* 6 (1996), pp. 759–788.

Függelék

F.1. A robot mozgásegyenletének mátrixai

Az űrbéli robot mozgásegyenletének tömegmátrixa

$$\mathbf{M} = \begin{bmatrix} m_{11} & m_{12} & m_{13} \\ m_{21} & m_{22} & m_{23} \\ m_{31} & m_{32} & m_{33} \end{bmatrix}, \quad (\text{F.1})$$

ahol

$$m_{11} = \frac{4l_0l_1m_0(m_1+2m_2)\cos(\varphi_0-q_1)+4l_0l_2m_0m_2\cos(\varphi_0-q_1-q_2)+4\theta_0m_0+4\theta_0m_1+4\theta_0m_2}{4(m_0+m_1+m_2)} + \frac{4\theta_1m_0+4\theta_1m_1+4\theta_1m_2+4\theta_2m_0+4\theta_2m_1+4\theta_2m_2+4l_0^2m_0m_1+4l_0^2m_0m_2+l_1^2m_0m_1}{4(m_0+m_1+m_2)} + \frac{4l_1^2m_0m_2+l_1^2m_1m_2+4l_1l_2m_0m_2\cos(q_2)+2l_1l_2m_1m_2\cos(q_2)+l_2^2m_0m_2+l_2^2m_1m_2}{4(m_0+m_1+m_2)}, \quad (\text{F.2})$$

$$m_{12} = \frac{2l_0l_1m_0(m_1+2m_2)\cos(\varphi_0-q_1)+2l_0l_2m_0m_2\cos(\varphi_0-q_1-q_2)+4\theta_1m_0}{4(m_0+m_1+m_2)} + \frac{4\theta_1m_1+4\theta_1m_2+4\theta_2m_0+4\theta_2m_1+4\theta_2m_2+l_1^2m_0m_1+4l_1^2m_0m_2}{4(m_0+m_1+m_2)} + \frac{l_1^2m_1m_2+4l_1l_2m_0m_2\cos(q_2)+2l_1l_2m_1m_2\cos(q_2)+l_2^2m_0m_2+l_2^2m_1m_2}{4(m_0+m_1+m_2)}, \quad (\text{F.3})$$

$$m_{13} = \frac{2l_0l_2m_0m_2\cos(\varphi_0-q_1-q_2)+4\theta_2m_0+4\theta_2m_1+4\theta_2m_2}{4(m_0+m_1+m_2)} + \frac{l_1l_2m_2(2m_0+m_1)\cos(q_2)+l_2^2m_0m_2+l_2^2m_1m_2}{4(m_0+m_1+m_2)}, \quad (\text{F.4})$$

$$m_{21} = \frac{2l_0l_1m_0(m_1+2m_2)\cos(\varphi_0-q_1)+2l_0l_2m_0m_2\cos(\varphi_0-q_1-q_2)+4\theta_1m_0}{4(m_0+m_1+m_2)} + \frac{4\theta_1m_1+4\theta_1m_2+4\theta_2m_0+4\theta_2m_1+4\theta_2m_2+l_1^2m_0m_1+4l_1^2m_0m_2}{4(m_0+m_1+m_2)} + \frac{l_1^2m_1m_2+4l_1l_2m_0m_2\cos(q_2)+2l_1l_2m_1m_2\cos(q_2)+l_2^2m_0m_2+l_2^2m_1m_2}{4(m_0+m_1+m_2)}, \quad (\text{F.5})$$

$$m_{22} = \frac{4\theta_1(m_0+m_1+m_2)+4\theta_2m_0+4\theta_2m_1+4\theta_2m_2+l_1^2m_0m_1+4l_1^2m_0m_2}{4(m_0+m_1+m_2)} + \frac{l_1^2m_1m_2+2l_1l_2m_2(2m_0+m_1)\cos(q_2)+l_2^2m_0m_2+l_2^2m_1m_2}{4(m_0+m_1+m_2)}, \quad (\text{F.6})$$

$$m_{23} = \frac{4\theta_2(m_0+m_1+m_2)+l_1l_2m_2(2m_0+m_1)\cos(q_2)+l_2^2m_2(m_0+m_1)}{4(m_0+m_1+m_2)}, \quad (\text{F.7})$$

$$m_{31} = \frac{2l_0l_2m_0m_2\cos(\varphi_0-q_1-q_2)+4\theta_2m_0+4\theta_2m_1+4\theta_2m_2}{4(m_0+m_1+m_2)} + \frac{l_1l_2m_2(2m_0+m_1)\cos(q_2)+l_2^2m_0m_2+l_2^2m_1m_2}{4(m_0+m_1+m_2)}, \quad (\text{F.8})$$

$$m_{32} = \frac{4\theta_2(m_0+m_1+m_2)+l_1l_2m_2(2m_0+m_1)\cos(q_2)+l_2^2m_2(m_0+m_1)}{4(m_0+m_1+m_2)}, \quad (\text{F.9})$$

$$m_{33} = \frac{4\theta_2(m_0 + m_1 + m_2) + l_2^2 m_2(m_0 + m_1)}{4(m_0 + m_1 + m_2)}. \quad (\text{F.10})$$

A centripetális és Coriolis erőket tartalmazó vektor

$$\mathbf{C} = \begin{bmatrix} c_1 \\ c_2 \\ c_3 \end{bmatrix}, \quad (\text{F.11})$$

ahol

$$c_1 = -\frac{2l_2 m_2 \dot{q}_2 (\dot{q}_0 + \dot{q}_1) (l_1 (2m_0 + m_1) \sin(q_2) - 2l_0 m_0 \sin(\varphi_0 - q_1 - q_2))}{4(m_0 + m_1 + m_2)} + \frac{-2l_0 m_0 \dot{q}_1 (2\dot{q}_0 + \dot{q}_1) (l_1 (m_1 + 2m_2) \sin(\varphi_0 - q_1) + l_2 m_2 \sin(\varphi_0 - q_1 - q_2))}{4(m_0 + m_1 + m_2)} + \frac{l_2 m_2 \dot{q}_2^2 (l_1 (2m_0 + m_1) \sin(q_2) - 2l_0 m_0 \sin(\varphi_0 - q_1 - q_2))}{4(m_0 + m_1 + m_2)}, \quad (\text{F.12})$$

$$c_2 = -\frac{2l_0 m_0 \dot{q}_0^2 (l_1 (m_1 + 2m_2) \sin(\varphi_0 - q_1) + l_2 m_2 \sin(\varphi_0 - q_1 - q_2))}{4(m_0 + m_1 + m_2)} + \frac{+2l_1 l_2 m_2 (2m_0 + m_1) \dot{q}_0 \dot{q}_2 \sin(q_2) + l_1 l_2 m_2 (2m_0 + m_1) \dot{q}_2 \sin(q_2) (2\dot{q}_1 + \dot{q}_2)}{4(m_0 + m_1 + m_2)} + \quad (\text{F.13})$$

$$c_3 = \frac{l_2 m_2 \dot{q}_0^2 (l_1 (2m_0 + m_1) \sin(q_2) - 2l_0 m_0 \sin(\varphi_0 - q_1 - q_2))}{4(m_0 + m_1 + m_2)} + \frac{l_2 m_2 (2l_1 (2m_0 + m_1) \dot{q}_0 \dot{q}_1 \sin(q_2) + l_1 (2m_0 + m_1) \dot{q}_1^2 \sin(q_2))}{4(m_0 + m_1 + m_2)}. \quad (\text{F.14})$$